

양자회로 상에서 경량 블록암호 구현 동향

IT융합공학부 송경주

Contents

서론

관련연구

연구동향

결론

서론

- 시스템에서는 데이터를 보호하기 위해 공개키 암호 및 블록암호를 사용함
- 양자컴퓨터의 성능이 암호 공격에서의 사용으로 제안되면서 현재 암호 체계에 위협이 되고 있음

Grover's algorithm : 대칭키 암호에 대해 **brute-force attack** 가속화
(n -bit 의 보안 수준을 \sqrt{n} -bit 수준으로 줄임)

Shor's algorithm : 공개키 암호에 대해 **소인수 분해**를 다항시간 내에 수행

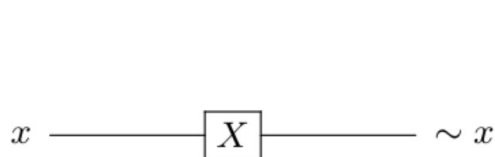
- IoT 환경에서는 많은 정보를 주고받는 만큼 데이터에 대한 보안이 중요
 - 사물인터넷에서 사용하는 저사양 디바이스는 리소스 및 운용에 제한이 있으므로 기존 기기에 사용하는 암호화 방식을 사용하기 어려움
 - 저사양 디바이스를 위한 암호화 방식인 **경량암호**를 사용

양자 컴퓨터

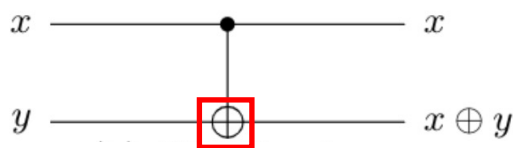
- 양자 컴퓨터의 가용 자원이(ex. 사용 가능한 큐비트 수) 암호 공격에 필요한 자원에 도달할 때가 곧 암호가 깨질 수 있는 시점으로 봄
- 양자 알고리즘을 동작하기 위해서 공격 대상이 되는 암호를 양자회로로 구현해야 하며 양자자원을 줄이는 최적화 방식을 통해 공격 시기를 앞당긴다고 예상함
- 앞선 많은 연구들은 post-quantum 강도를 평가하기 위해 공격 대상이 되는 암호를 양자회로로 구현하고 공격 자원을 추정하는 연구들이 꾸준히 진행되고 있음
- 본 논문에서는 사물 인터넷 환경에서 사용하기 위해 설계된 경량블록 암호에 대한 양자회로 구현 동향을 살펴봄

관련연구 - 양자컴퓨터

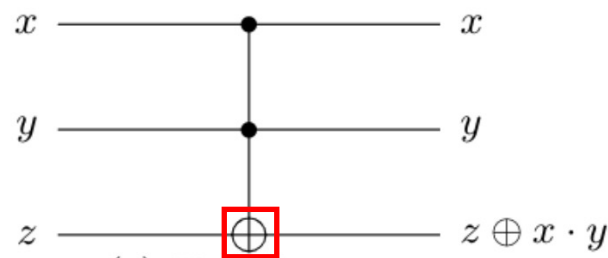
- 양자컴퓨터는 큐비트의 **중첩** 및 **얽힘**의 양자 상태를 활용하여 계산을 수행
- 큐비트의 **중첩** 성질로 인해 n 큐비트로 2^n 개의 경우를 한번에 표현하고 연산 가능
- Quantum gate
 - 양자 컴퓨터에서는 디지털 회로의 디지털 논리 게이트와 유사하게 양자 게이트를 사용하여 큐비트의 상태를 제어
 - 큐비트는 양자회로 연산에서 Control 큐비트 과 Target 큐비트로 나눌 수 있음
 - **Control 큐비트** : 연산에 영향을 주는 큐비트, 값이 바뀌지 않음
 - **Target 큐비트** : 연산 대상, 결과 값이 저장됨
 - 측정을 제외한 모든 연산에 대하여 **가역적 특성**을 가짐 → inverse 연산 가능
 - 대표적인 양자 게이트로는 **Hadamard gate, X gate, CNOT gate, Toffoli gate, Swap gate**가 있음
 - 큐비트와 양자 게이트로 구성한 회로를 **양자 회로(Quantum circuit)** 라고 함



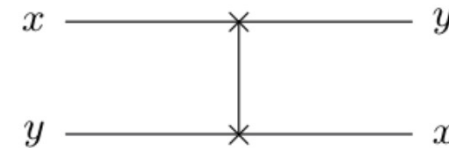
(a) X (NOT) gate



(b) CNOT gate



(c) Toffoli gate



(d) Swap gate

연구동향 - LEA 양자회로

- LEA

- LEA는 2013년 한국인터넷진흥원에서 제시한 128-bit의 경량 블록암호
- ARX연산으로 구성되며 128, 192, 256 bit의 키 사이즈를 제공
- “Optimization of LEA Quantum Circuits to Apply Grover’s Algorithm”[1]의 LEA 양자회로 구현에서는 LEA 경량블록암호의 내부 함수 중 키 스케줄의 상수 덧셈을 최적화 함

<LEA 키 스케줄>

- δ : 정의된 상수
- ROL_i : i-bit의 left rotation을 나타냄

$$\begin{aligned}\delta[0] &= 0xc3efe9db, & \delta[1] &= 0x44626b02 \\ \delta[2] &= 0x79e27c8a, & \delta[3] &= 0x78df30ec \\ \delta[4] &= 0x715ea49e, & \delta[5] &= 0xc785da0a \\ \delta[6] &= 0xe04ef22a, & \delta[7] &= 0xe5c40957\end{aligned}$$

$$\begin{aligned}K[0] &= ROL_1(ADD(K[0], ROL_i(\delta[i \bmod 4]))) \\ K[1] &= ROL_3(ADD(K[1], ROL_{i+1}(\delta[i \bmod 4]))) \\ K[2] &= ROL_6(ADD(K[2], ROL_{i+2}(\delta[i \bmod 4]))) \\ K[3] &= ROL_{11}(ADD(K[3], ROL_{i+3}(\delta[i \bmod 4]))) \\ RK_i &= (K[0], K[1], K[2], K[3], K[1])\end{aligned}$$

<키 스케줄링 함수>

연구동향 - LEA 양자회로

• LEA

- 이전의 LEA 양자회로 “Grover on Korean Block Ciphers”[2]에서는 로테이션 된 δ 와 K 의 덧셈을 수행하기 위해 상수 $\delta[0]$, $\delta[1]$, $\delta[2]$, $\delta[3]$ 의 값을 저장하기 위한 큐비트를 할당하여 사용함
- 32-bit의 δ 의 값을 저장하기 위해서는 $32\text{bit} \times 4(\delta \text{ 개수}) = 128$ 개의 큐비트를 사용해야함 (LEA-192 : 192개, LEA-256 : 256개 사용)
- “Optimization of LEA Quantum Circuits to Apply Grover’s Algorithm” [1]의 LEA 양자회로 구현 논문에서는 여러 개의 상수 δ (최대 8개)에 대해 하나의 δ 크기의 큐비트를 할당하여 재사용 하였음
- 사용되는 δ 의 값과 순서는 정해져 있으므로 연산에 필요한 δ 의 값을 X게이트를 사용하여 생성함

[1] Jang, K. B. et al. (2021) “Optimization of LEA Quantum Circuits to Apply Grover’s Algorithm,” KIPS Transactions on Computer and Communication Systems. 한국정보처리학회, 10(4), pp. 101 –106. doi: 10.3745/KTCCS.2021.10.4.101.

[2] K. B. Jang, S. J. Choi, H. D. Kwon, H. J. Kim, J. H. Park, and H. J. Seo, “Grover on Korean Block Ciphers,” Applied Sciences, Vol.10, No.18, pp.6407, 2020.

연구동향 - LEA 양자회로

- LEA 양자회로의 양자자원 추정 결과
 - [1]에서 제안한 양자회로 자원추정 결과 <표 1>는 큐비트 최적화 방식을 통해 이전의 LEA 양자회로 구현 결과[2] <표 2>보다 할당 큐비트를 각각 LEA 128에서 96개, LEA192에서 160개, LEA256에서 224개를 감소시킴

<표 1> LEA 양자 자원 추정 결과 [1]

	Quantum gates			
	Toffoli	CNOT	X	Qubit
LEA 128	10,416	28,080	352	289
LEA 192	15,624	39,816	398	353
LEA 256	17,856	45,504	465	417

<표 2> LEA 양자 자원 추정 결과 [2]

	Quantum gates			
	Toffoli	CNOT	X	Qubit
LEA 128	10,416	28,080	68	385
LEA 192	15,624	39,816	100	513
LEA 256	17,856	45,504	130	641

[1] Jang, K. B. et al. (2021) "Optimization of LEA Quantum Circuits to Apply Grover's Algorithm," KIPS Transactions on Computer and Communication Systems. 한국정보처리학회, 10(4), pp. 101 –106. doi: 10.3745/KTCCS.2021.10.4.101.

[2] K. B. Jang, S. J. Choi, H. D. Kwon, H. J. Kim, J. H. Park, and H. J. Seo, "Grover on Korean Block Ciphers," Applied Sciences, Vol.10, No.18, pp.6407, 2020.

연구동향 – SIMON 양자회로

- SIMON

- SIMON은 2013년 National Security Agency (NSA)에서 공개한 경량암호
- Feistel 구조의 블록 암호이며 다양한 키 사이즈를 제공
- SIMON은 두 개의 내부 함수인 라운드 함수와 키 확장 함수로 구성됨
- 그림 2는 SIMON에 대한 라운드 함수를 보여주며 수식 (1)은 라운드 함수 F에 대한 수식을 나타냄
- $S^i(x)$ 는 i-bit 만큼의 left rotation을 수행하며 k_i 는 i번째 라운드 키를 의미

$$F(x, y) = (y \oplus S^1(x)S^8(x) \oplus S^2(2) \oplus k, x) \quad (1)$$

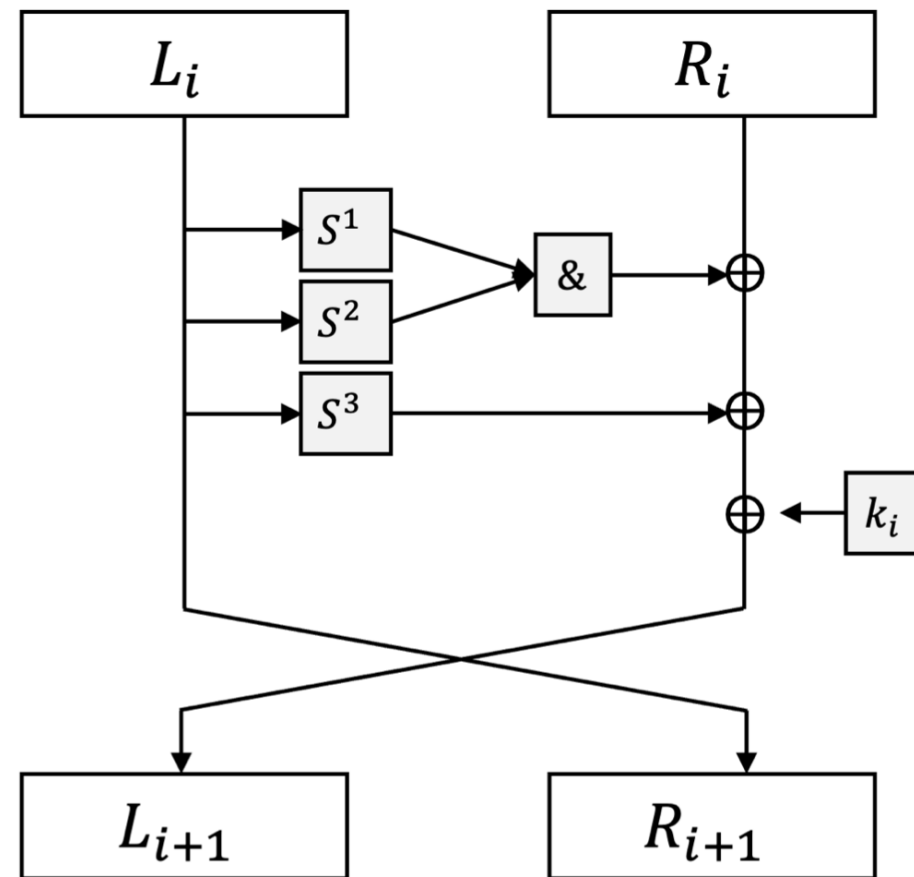


그림 2. SIMON 라운드 함수

연구동향 – SIMON 양자회로

- SIMON 양자회로[2]

- "Grover on SIMON" [3]에서는 SIMON에 대한 가역 양자회로를 설계하고 그루버 알고리즘 공격에 필요한 양자 게이트를 제시함
- 논문에서는 키 K 에 대해 k -큐비트가 할당되어 있으며 L 과 R 에 대해 각각 n 개의 큐비트가 할당되어 있다고 가정하여 다음과 같은 식을 나타냄

$$R_2(i) = L_1(i) = R_0(i) \oplus K_0(i) \oplus L_0((i+1) \bmod (n/2)) \\ \oplus L_0((i+8) \bmod (n/2)) \oplus L_0((i+2) \bmod (n/2))$$

- SIMON 2라운드에서 R_2 의 각 비트는 R_0 , $F(L_2)$, K_0 와 XOR 됨
- SIMON 2라운드에서 L_2 의 각 비트는 L_0 , $F(R_2)$, K_1 와 XOR 됨
 - 이때, $F(x) = S^1(x)S^8(x) \oplus S^2(x)$
- 이와 같은 연산을 통해 추가적인 큐비트를 사용하지 않도록 하였으며 키 확장에서 ancilla 큐비트를 사용하지 않고 상수를 적절한 X게이트를 사용하여 회로를 구현함

연구동향 - LEA 양자회로

- SIMON 양자회로의 양자자원 추정 결과[2]
 - <표 3>은 SIMON (블록 크기)/(키 길이)에 대한 양자 자원 추정 결과를 보여줌
 - brute-force attack 수행에는 Grover's algorithm 내부의 Oracle 반복만큼 암호화를 진행 : $2 \times \text{<표 3>} \times \left\lceil \frac{\pi}{4} \times \sqrt{2^{\text{key length}}} \right\rceil$ 의 양자 자원 필요

<표 3> SIMON 양자 자원 추정 결과 [3]

	Quantum gates			
	X	CNOT	Toffoli	Depth
SIMON 32/64	448	2,816	512	946
SIMON 48/72	792	3,312	864	1,062
SIMON 48/96	768	4,800	864	1,597
SIMON 64/96	1,248	5,184	1,344	1,674
SIMON 64/128	1,216	7,396	1,408	2,643
SIMON 128/256	4,352	26,624	4,608	8,848

결론

- 본 논문에서는 저사양 디바이스에서 사용하기 위해 설계된 경량암호에 대한 양자회로 구현 동향을 살펴보았음
- 경량암호에 대한 post-quantum 보안 강도를 평가하기 위해서는 대상 암호에 대해 양자회로로 구현하고 그루버 알고리즘에 필요한 양자자원을 추정해야 함
- 살펴본 LEA, SIMON 경량암호 양자구현에서는 대상 암호에 대해 최적화 방식으로 양자회로를 구현하고 양자자원 추정 결과를 제시함

Q & A